

等方圧密による有機質土の強度特性に関する2・3の考察

秋田大学 正員 宮川 勇
秋田工専 メンター 三浦 雅己

1. まえがき

有機質土は、無機質土に比べてその構成内容が複雑でありその骨格構造を構成している材料の相違、応力状態及びその履歴によってその挙動が著しく変化するものと考えられる。ここでは、有機質土の工学的性質の一端を窺知する手段として、有機質土、粘性土及びその混合物の等方圧密による再成形供試体について行なう、といふ非排水三軸圧縮試験による研究結果の一部に基づいて、その強度特性の2・3について報告を試みたい。

2. 試料及び実験の概要

実験に用いた試料は、粘性土、有機質土共に秋田県横手市郊外の雄物川筋農業水利事業所の工事現場から採取したものである。これらの試料をそれぞれの液性限界以上の含水量で十分練り返し、乾燥重量で全重量に対する有機質土重量化が0%, 25%, 50%, 75%, 100%になるように混合し、これらをそれぞれC, CP25, CP50, CP75, Pと名付ける。粘性土、有機質土の物理性、強熱減量値及び各試料の塑性図上の位置は文献³⁾を参照されたい。また今回用いた有機質土は分解がかなり進んでおり、日本統一土質分類による(M_K)に近いものとみなされる。図-1は強熱減量値I₁と有機質土含有量の関係を示す。図から混合して試料のI₁は、計算値とほぼ一致しており、各試料はおおむね所定の割合で一様に混合されているものとみなされる。供試体は全て成形時の寸法が直径35cm、高さ8.75cmの円柱形であり、圧密を促進するためにペーパードレンを用いた。供試体をセットし、圧密圧力に相当する等方液圧を与えてSkemptonの間ゲキ水圧俱数Bを測定し、その結果満足すべき飽和状態にない場合にはB \leq 0.95になるまでback pressureを与えた。圧密終了の判定は、残留間ゲキ水圧2%以下という条件及び排水量の測定によつた。その後、直ちに一定のヒズミ速度0.1%/minで三軸非排水セン断試験を行ない、間ゲキ水圧の測定は供試体の底端部において水銀マノメーターにより零位法で行なった。圧密圧力は0.3, 0.6, 0.9, 1.2, 1.5 kN/cm²の5段階である。なおここでは、破壊規準としては有効主応力比(σ'_1/σ'_3)_{max}によつた。

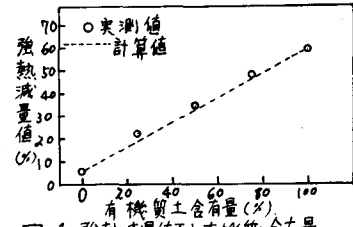


図-1 強熱減量値I₁と有機質土含有量

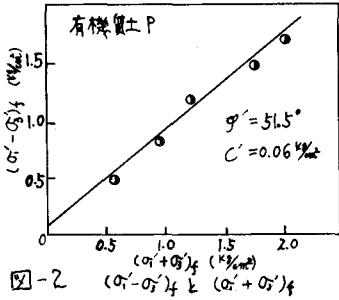


図-2 有機質土P

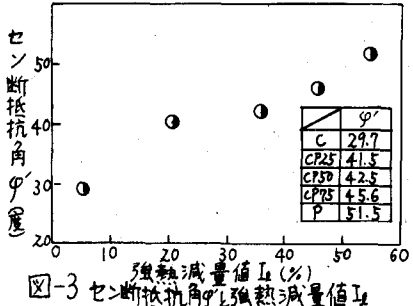


図-3 セン断抵抗角φ' と強熱減量値I₁

3. 結果と考察

図-2は有機質土Pについて有効応力によるセン断強度定数の解析例を示している。これによつて得られたセン断抵抗角φ'、粘着力C'をそれぞれ強熱減量値I₁に対して図示すれば図-3、図-4のようになる。ここで便宜的であるが強熱減量値I₁をもって有機物含有量の尺度とすれば、φ'は有機物含有量による影響を受けてI₁が大きくなるに伴なつて増加する傾向を示し、I₁=6~20%を境にして急激に変化していることは興味深いことである。

泥炭のセント抵抗角について J.I.ADAMSら¹⁾の研究例でも $\phi' \approx 50^\circ$ の値を示しており、今回の著者らの得た結果と近似している。粘着力 C' は I_L による影響を若干受け、総体的には I_L の増大に伴なつているように思われるが明確ではない。

なお、今回の研究は正規圧密供試体について行なったものであるが、破壊時にあいて過圧密状態にありしかも有機物含有量の増加に伴なつて過圧密化が大きくなっていることは注目すべきであり、このことが上述の結果と深くかかわりあっていると考えられるが、これらの点については別の機会に論じたい。

図-5は強度増加率 $\Delta C_u/P_c$ を I_L に対応して示したものである。ここで強度増加率としては、非排水強度 C_u と圧密圧力 P_c の関係をプロットし、その勾配をもって $\Delta C_u/P_c$ とした。 I_L の増加に伴なつて $\Delta C_u/P_c$ は増大する傾向を表わしている。このことは前述の ϕ' 及び C' との関連からも推定できることである。即ち等方圧密土の非排水強度 C_u は、破壊時の間ヶキ水圧係数 A_f 、 ϕ' 、 C' に依存するが(本実験では A_f の I_L による影響は無視される) ϕ' 、 C' が大きくなれば、 C_u は増加し、特に ϕ' の I_L による依存性の大きいことから I_L の影響を受けて対応した増加を示すことになる。別の実験研究²⁾によれば、破壊時以前の状態についてであるがクリアードにおける上限降伏値 E_{50} が、有機物含有量に比例して増加するという実験事実と併せ考えて興味あることである。

図-6は破壊時の間ヶキ水圧 A_f と圧密圧力 P_c の関係を示す。図より $C \sim P$ まですべて直線関係で表わされ、間ヶキ水圧は $C \sim CP_{25}$ を境にして急速に増加し、その後の増加割合は有機物含有量が大きいほど小さい。粘性土にある程度の有機物が附加されることにより、間ヶキ水圧の発生挙動が鋭敏になることを示すものと思われる。

変形係数 E_{50} と I_L 及び P_c の関係を図-7、図-8に示す。図-7によれば E_{50} は I_L による影響が不明瞭でありバラツキが多い。また図-8から圧密圧力 P_c が大きくなるに伴なつて E_{50} は $C \sim P$ までの割合も増大する傾向を表わしている。

次に破壊時のレズミ ϵ_b を I_L に対応させると図-9となり、 I_L の増大に伴なつて ϵ_b もある程度大きくなるように思われる。その増加の割合は $I_L = 20\%$ 程度までは急速に入きくなり、その後は有機物含有量が大きくなるほど小さくなり、 I_L 値で 20% 付近から有機質土としての特性がはっきりしてくるようと思われる。粘性土に有機物が含まれることによって、有機物粒子と粘土粒子の相対的すべり運動のほかに間ヶキ比の増大に伴なう圧縮性の増加が ϵ_b を大きくするものと思われる。また ϵ_b は今回の実験では粘性土で 13~17%，有機質土で 20~25% であった。

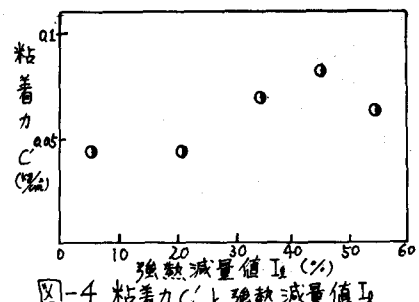


図-4 粘着力 C' と強熱減量値 I_L

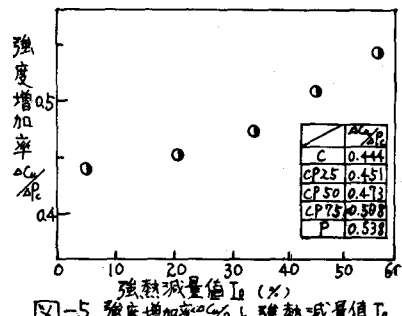


図-5 強度増加率 $\Delta C_u/P_c$ と強熱減量値 I_L

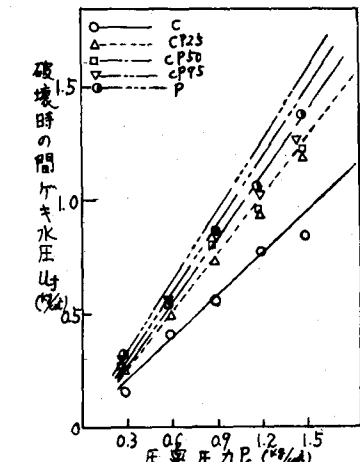


図-6 破壊時の間ヶキ水圧 A_f と圧密圧力 P_c

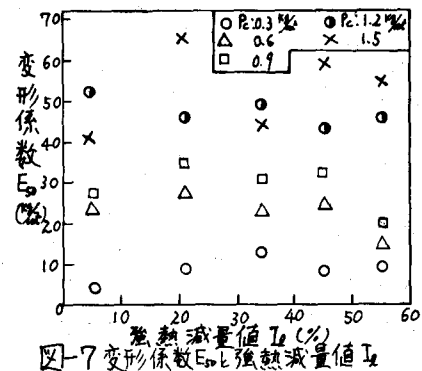


図-7 変形係数 E_{50} と強熱減量値 I_L

4. 結論

本実験で得られた有機質土の特性の主なる点を宮川ら³⁾のK₀圧密土についてのコンペ試験結果と比較しながら列挙する。

1) セン断抵抗角 ϕ' の有機物含有量による依存性は大きく、強熱減量値 I_d の増加に伴なって ϕ' は増大した。さらにK₀圧密土では、等方圧密土による ϕ' に比べて13%程度大きかった。等方圧密土について得られる ϕ' とK₀圧密土の ϕ' の相関性は今回発表の実験研究の結果だけからでも一応は得られるが、なお継続中である一連の研究結果と併せて別の機会に述べたい。

2) 強度増加率 $\Delta C_u/P_c$ は、有機物含有量の影響を受けて、強熱減量値 I_d の増大に伴なって $\Delta C_u/P_c$ は大きくなる傾向が示された。K₀圧密土と比べれば、等方圧密土では $K_0 = 1$ の状態に相当するから当然その値は大きくなり、粘性土で約4%，有機質土で約7%とそれぞれ大きく等方圧密による室内実験に基づく $\Delta C_u/P_c$ は、原位置強度を過大に評価することがわかる。なお今回の実験は再成形等方圧密の供試体について行なわれたものであるが、原位置状態からサンプリング、成形、再圧密に至る応力履歴を考慮して実験研究によって上述の諸点を更に検討する必要がある。またこの関係を $\Delta C_u/I_d$ （ここで I_d は平均主应力）について両者を対比すれば、この場合には対応する間ヶキ木圧は等方圧密土の方が大きくなるので $\Delta C_u/I_d$ はK₀圧密土の方よりその値が大きくなるが、これらの諸点については改めて別の機会に述べたい。また強度増加率と塑性指標その他の一般物理性との関連性についても今回は割愛する。

3) 変形係数 E_{50} の強熱減量値 I_d による影響は不明確であるが P_c による影響は明確に表わされた。

4) 破壊時のヒズミ ϵ_f は強熱減量値 I_d による影響を受けて、 I_d が大きいほど ϵ_f も増加する傾向があつた。しかしその増加割合は、 I_d が大きいほど小さくなるようであった。

最後に本実験の実施にあたって、秋田工専学生鎌田、高橋尚君の協力に深く感謝の意を表する。

参考文献

- 1) J. I. ADAMS: "Laboratory compression tests on peat," Proc. Seventh Muskeg Research conference, PP 35~41 (1961).
- 2) 及川・岩崎・宮川: "粘性土・高有機質土及びその混合物のクリープ挙動について," 第8回国土質工学研究発表会講演集, PP 247~250, (1973).
- 3) 宮川・高野・柴田: "K₀圧密による有機質土の強度特性に関する2・3の考察," 土木学会東北支部技術研究発表会, (1974).

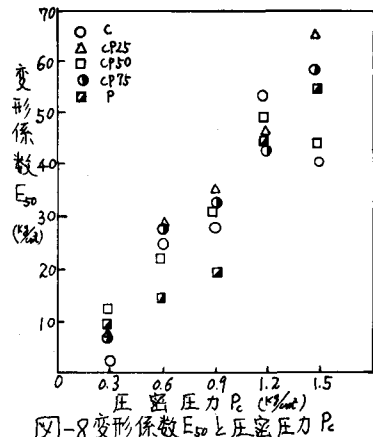


図-8 変形係数 E_{50} と圧密圧力 P_c

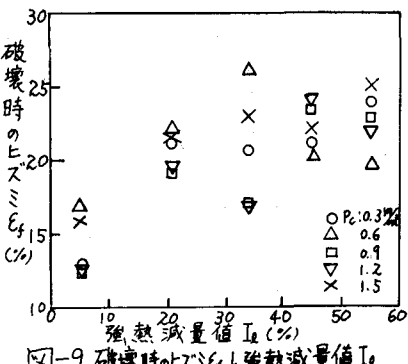


図-9 破壊時のヒズミ ϵ_f と強熱減量値 I_d